

СИНТЕЗ И СВОЙСТВА
НЕОРГАНИЧЕСКИХ СОЕДИНЕНИЙ

УДК 539.183.3:546.655

ФЕРРОГРАНАТ $\text{Y}_{2.5}\text{Ce}_{0.5}\text{Fe}_{2.5}\text{Ga}_{2.5}\text{O}_{12}$: СИНТЕЗ,
ИОННЫЙ И ФАЗОВЫЙ СОСТАВЫ

© 2023 г. Ю. А. Тетерин^{a, b}, М. Н. Смирнова^c, К. И. Маслаков^a, А. Ю. Тетерин^b,
Г. Е. Никифорова^c, Я. С. Глазкова^a, А. Н. Соболев^a, И. А. Пресняков^a, В. А. Кецко^c, *

^aМосковский государственный университет им. М. В. Ломоносова, Химический факультет,
Ленинские горы, 1, Москва, 119991 Россия

^bНИЦ “Курчатовский институт”, пл. Академика Курчатова, 1, Москва, 123182 Россия

^cИнститут общей и неорганической химии им. Н. С. Курнакова РАН,
Ленинский пр-т, 31, Москва, 119991 Россия

*e-mail: ketsko@igic.ras.ru

Поступила в редакцию 25.01.2023 г.

После доработки 14.03.2023 г.

Принята к публикации 14.03.2023 г.

Методами рентгенофазового анализа (РФА), рентгеновской фотоэлектронной (РФЭС) и мессбауэровской спектроскопии исследованы ионный и фазовый составы образцов порошкообразного феррограната $\text{Y}_{2.5}\text{Ce}_{0.5}\text{Fe}_{2.5}\text{Ga}_{2.5}\text{O}_{12}$, полученного методом сжигания геля с последующей кристаллизацией в вакууме и дополнительным отжигом в атмосфере воздуха при 750°C. По данным РФЭС и мессбауэровской спектроскопии, катионы железа и церия в структуре гомогенного феррограната стабилизированы в формальной степени окисления Fe^{3+} . В то же время на поверхности частиц $\text{Y}_{2.5}\text{Ce}_{0.5}\text{Fe}_{2.5}\text{Ga}_{2.5}\text{O}_{12}$ наряду с Ce^{3+} содержатся ионы Ce^{4+} . Полученные результаты могут быть использованы при создании функциональных материалов для магнитооптических устройств нового поколения.

Ключевые слова: феррогранат Ce-ЖИГ, РФА, РФЭС, мессбауэровская спектроскопия

DOI: 10.31857/S0044457X23600135, **EDN:** RIJBOI

ВВЕДЕНИЕ

Проблема создания замещенных гранатов на основе феррита иттрия ($\text{Y}_3\text{Fe}_5\text{O}_{12}$, ЖИГ) на протяжении многих лет привлекает внимание исследователей. Интерес к решению этой задачи во многом связан с наличием в кристаллической решетке ЖИГ трех катионных позиций разных размеров: додекаэдрической, тетраэдрической и октаэдрической. Это дает возможность, применяя различные варианты замещения ионов металлов в структуре $\text{Y}_3\text{Fe}_5\text{O}_{12}$, изменять функциональные характеристики феррит-граната в широком интервале температур [1–6].

Известно, что замещение катиона Y^{3+} на Ce^{3+} в $\text{Y}_3\text{Fe}_5\text{O}_{12}$ позволяет усилить магнитооптическую активность в видимом и ближнем инфракрасном диапазонах [7–10], снижает потери оптической мощности (затухание светового сигнала) [10] и способствует понижению температуры кристаллизации граната. Эти факторы расширяют возможную область применения материалов на основе ЖИГ для создания магнитооптических устройств нового поколения [3, 6, 7].

Однако практическое использование данного подхода ограничивается трудностями получения твердых растворов $\text{Y}_{3-x}\text{Ce}_x\text{Fe}_5\text{O}_{12}$. Связано это с тем, что эффективный ионный радиус церия Ce^{3+} (1.14 Å) больше, чем радиус иттрия Y^{3+} (1.02 Å) [11], и при увеличении концентрации Ce^{3+} происходит увеличение внутренних напряжений и структурных искажений кристаллической решетки [9, 10]. Эта проблема может быть частично решена путем введения в состав ЖИГ вместе с Ce^{3+} , ионов с малым радиусом, например Al^{3+} или Ga^{3+} , что позволяет компенсировать структурные ограничения и способствует формированию граната заданного состава [12–14].

Отметим, что отдельную проблему представляет собой склонность к окислению катионов Ce^{3+} в феррогранатах в процессе синтеза и последующей кристаллизации, что приводит к появлению в конечном продукте примеси CeO_2 , не обладающей магнитным упорядочением, и ухудшает магнитные и магнитооптические свойства ЖИГ [7].

В ряде работ предпринимали попытки получения феррогранатов путем замещения части ионов

иттрия на Ce^{3+} [3–7]. В то же время содержание церия в гранате в этих работах, по данным РФА, не превышало 8%, например $Ce_{0.25}Y_{2.75}Fe_5O_{12}$ [3], $Ce_{0.122}Y_{2.878}Fe_5O_{12}$ [5]. Рекордное же содержание Ce^{3+} в гомогенном $Y_{2.5}Ce_{0.5}Fe_{2.5}Ga_{2.5}O_{12}$ удалось достичь путем синтеза и последующей кристаллизации граната при пониженном парциальном давлении кислорода и замене части ионов железа Fe^{3+} на Ga^{3+} [15, 16]. Отметим, что в работах по синтезу и исследованию церийзамещенных гранатов представлен, как правило, лишь фазовый состав кристаллитов, основанный на данных РФА [4–6]. Известно, что на поверхности церийсодержащих материалов из-за склонности Ce^{3+} к окислению может образовываться аморфная примесь CeO_2 [3], не фиксируемая методом РФА. Это будет приводить к снижению функциональных характеристик магнитооптических устройств на основе $Y_{2.5}Ce_{0.5}Fe_{2.5}Ga_{2.5}O_{12}$ [16]. Кроме того, введение в кристаллическую решетку феррограната ионов Ce^{3+} может приводить к частичному восстановлению железа и, как следствие, к ухудшению магнитооптических свойств.

Цель работы – анализ ионного и фазового состояния $Y_{2.5}Ce_{0.5}Fe_{2.5}Ga_{2.5}O_{12}$, полученного методом сжигания геля, исходя из данных РФА, РФЭС и мессбауэровской спектроскопии.

ЭКСПЕРИМЕНТАЛЬНАЯ ЧАСТЬ

Синтез образцов проводили методом сжигания геля [17, 18]. Для этого смесь стехиометрических количеств трехводного карбоната иттрия (х. ч.), нитрата церия (ч.), металлического железа (ос. ч.), металлического галлия (х. ч.) растворяли в разбавленной азотной кислоте. Затем в полученный раствор добавляли поливиниловый спирт $[-CH_2CH(OH)-]_n$ (ПВС), исходя из расчета $0.12/n$ моль ПВС на 0.01 моль феррита, а также нитрат аммония (NH_4NO_3) квалификации “ч. д. а.”) в количестве 0.12 моль на 0.01 моль феррита. Реакционные смеси упаривали в реакторе при температуре 90°C с постоянным перемешиванием до состояния гелей.

При увеличении температуры выше 100°C гели горели и превращались в мелкодисперсные порошки желто-бежевого цвета. После охлаждения порошки диспергировали с помощью шаровой мельницы и отжигали при 750°C в печи в течение 5 ч при давлении $\sim 1 \times 10^{-2}$ Па [15, 16]. Такой режим термической обработки обусловлен необходимостью исключения вероятности окисления катионов Ce^{3+} .

РФА полученных порошков выполняли на дифрактометре Bruker Advance D8 (CuK_α -излучение) в интервале углов $2\theta = 10^\circ$ – 70° с шагом сканирования 0.0133° . Обработку результатов прово-

дили с помощью программного пакета для анализа рентгеновских данных DIFFRAC.EVA.

Спектры РФЭС образцов $Y_{2.5}Ce_{0.5}Fe_{2.5}Ga_{2.5}O_{12}$ получены на электростатическом спектрометре Axis Ultra DLD (Kratos Analytical UK) с использованием монохроматического AlK_α (1486.7 эВ) возбуждающего рентгеновского излучения в вакууме (5×10^{-7} Па) при комнатной температуре. Образцы были приготовлены в виде порошков на непроводящем скотче. Спектры получены при $I = 12$ мА, $U = 15$ кВ и $P = 180$ Вт на рентгеновской трубке. Шкала энергии связи спектрометра была предварительно откалибрована по положению основных уровней $Au4f_{7/2}$ (83.96 эВ) и $Cu2p_{3/2}$ (932.62 эВ). Разрешение прибора, рассчитанное как полная ширина на полувысоте линии $Au4f_{7/2}$ – электронов, составляло 0.7 эВ. Спектры были получены в режиме постоянной энергии анализатора с использованием энергии прохождения 20 эВ с шагом 0.05 эВ. Количество сканирований для каждого спектрального пика было различным в зависимости от интенсивности этого пика в обзорном спектре (рис. 1). Погрешность определения энергии связи E_b и ширины линий не превышала ± 0.05 эВ, а ошибка относительной интенсивности пика $\pm 5\%$. Фон, связанный с вторично рассеянными электронами, вычитали по методу Ширли [19]. Деление спектров на отдельные компоненты выполнено с использованием стандартной программы SPRO-3/0 [20].

Мессбауэровские спектры на ядрах ^{57}Fe измеряли на спектрометре MS-1104Em, работающем в режиме постоянных ускорений. В качестве источника гамма-квантов использовали ^{57}Co в родиевой матрице. Анализ и расшифровку экспериментальных спектров, в том числе с использованием методов реконструкции распределений сверхтонких параметров, осуществляли с помощью программного комплекса SpectrRelax [21]. Значения изомерных химических сдвигов приведены относительно α -Fe при 298 К.

РЕЗУЛЬТАТЫ И ОБСУЖДЕНИЕ

В работе первоначально была исследована область гомогенности твердых растворов $Y_{3-x}Ce_xFe_{5-y}Ga_yO_{12}$ при замещении части Y^{3+} на Ce^{3+} и Fe^{3+} на Ga^{3+} (табл. 1).

Как следует из данных РФА, при соотношении Fe^{3+} и Ga^{3+} , равном 1 : 1, предельное замещение Ce^{3+} на Y^{3+} в гомогенном $Y_{3-x}Ce_xFe_{2.5}Ga_{2.5}O_{12}$ составило величину 0.5 [15]. При повышении содержания Ce^{3+} в решетке феррограната наряду с основной фазой образуется примесь $(Y_{1.6}Ce_{0.4})O_{3.2}$. В то же время в феррогранате, не содержащем Ga^{3+} , гомогенность нарушается при замещении Ce^{3+} на Y^{3+} , составляющем величину 0.2. Этот

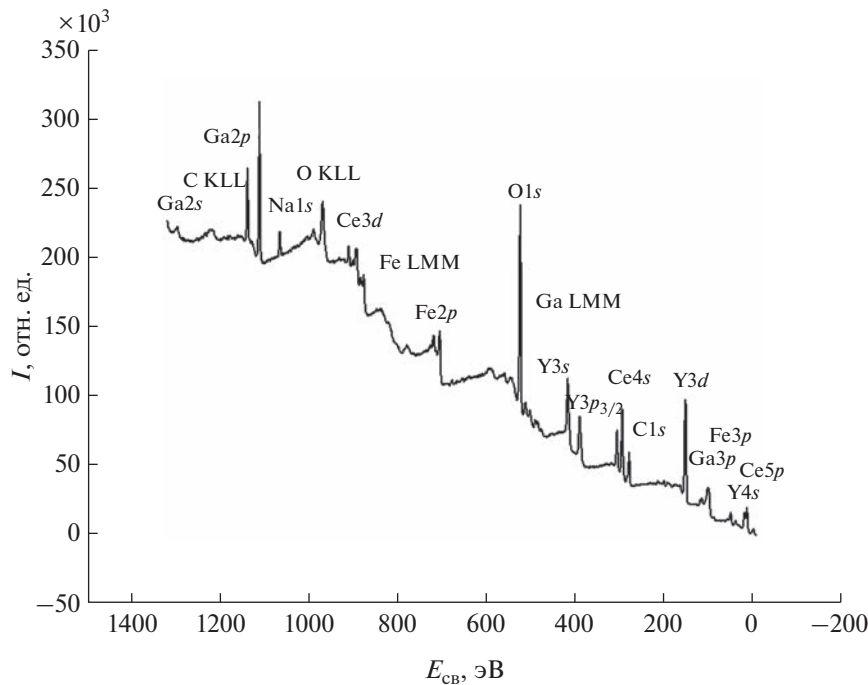


Рис. 1. Обзорный спектр РФЭС электронов образца $\text{Y}_{2.5}\text{Ce}_{0.5}\text{Fe}_{2.5}\text{Ga}_{2.5}\text{O}_{12}$.

экспериментальный результат противоречит работе [3], в которой сообщается о гомогенности $\text{Ce}_{0.25}\text{Y}_{2.75}\text{Fe}_5\text{O}_{12}$.

Образец $\text{Y}_{2.5}\text{Ce}_{0.5}\text{Fe}_{2.5}\text{Ga}_{2.5}\text{O}_{12}$ остался однофазным и после дополнительной термической обработки на воздухе при температуре 750°C в течение 5 ч. Для $\text{Y}_{2.5}\text{Ce}_{0.5}\text{Fe}_{2.5}\text{Ga}_{2.5}\text{O}_{12}$, полученного при кристаллизации в вакууме и затем отожженного при 750°C на воздухе, проведена оценка областей когерентного рассеяния (OKP) и микронапряжений кристаллической решетки с использованием

метода построения Вильямсона–Холла, основанного на соотношении:

$$\beta_{hkl} \cos \theta = k\lambda/D + 4\epsilon \sin \theta,$$

где β – физическое уширение дифракционного максимума; k – коэффициент, для кубической структуры, равный 0.95; λ – длина волны рентгеновского излучения ($\lambda = 0.15406$ нм); D – размер OKP; θ – брэгговский угол; ϵ – величина микронапряжений кристаллической решетки.

Таблица 1. Области фазовой гомогенности и параметры образцов состава $\text{Y}_{3-x}\text{Ce}_x\text{Fe}_{5-y}\text{Ga}_y\text{O}_{12}$, где $x = 0.0–0.7$; $y = 0.0–5.0$

№	Состав образцов	$a, \text{\AA}$	$V, \text{\AA}^3$	Фазовая гомогенность	Примесь
1	$\text{Y}_{2.8}\text{Ce}_{0.2}\text{Fe}_5\text{O}_{12}$	12.5100	1957.8	–	$\text{Y}_2\text{O}_3, \text{Fe}_2\text{O}_3, \text{CeO}_2$
2	$\text{Y}_{2.8}\text{Ce}_{0.2}\text{Ga}_5\text{O}_{12}$	12.3115	1855.1	+	
3	$\text{Y}_3\text{Fe}_{2.5}\text{Ga}_{2.5}\text{O}_{12}$	12.3525	1884.8	+	
4	$\text{Y}_{2.8}\text{Ce}_{0.2}\text{Fe}_{2.5}\text{Ga}_{2.5}\text{O}_{12}$	12.3592	1887.9	+	
5	$\text{Y}_{2.7}\text{Ce}_{0.3}\text{Fe}_{2.5}\text{Ga}_{2.5}\text{O}_{12}$	12.3657	1890.8	+	
6	$\text{Y}_{2.5}\text{Ce}_{0.5}\text{Fe}_{2.5}\text{Ga}_{2.5}\text{O}_{12}$	12.3645	1890.3	+	
7*	$\text{Y}_{2.5}\text{Ce}_{0.5}\text{Fe}_{2.5}\text{Ga}_{2.5}\text{O}_{12}$	12.3970	1905.2	+	
8	$\text{Y}_{2.4}\text{Ce}_{0.6}\text{Fe}_{2.5}\text{Ga}_{2.5}\text{O}_{12}$	12.3585	1887.6	–	$(\text{Y}_{0.6}\text{Ce}_{0.4})_2\text{O}_{3.4}$
9	$\text{Y}_{2.3}\text{Ce}_{0.7}\text{Fe}_{2.5}\text{Ga}_{2.5}\text{O}_{12}$	12.3980	1905.7	–	$(\text{Y}_{0.6}\text{Ce}_{0.4})_2\text{O}_{3.4}$

Примечание. Образцы 1–6 и 8, 9 отожжены в вакууме, а затем на воздухе; образец 7* отожжен только в вакууме.

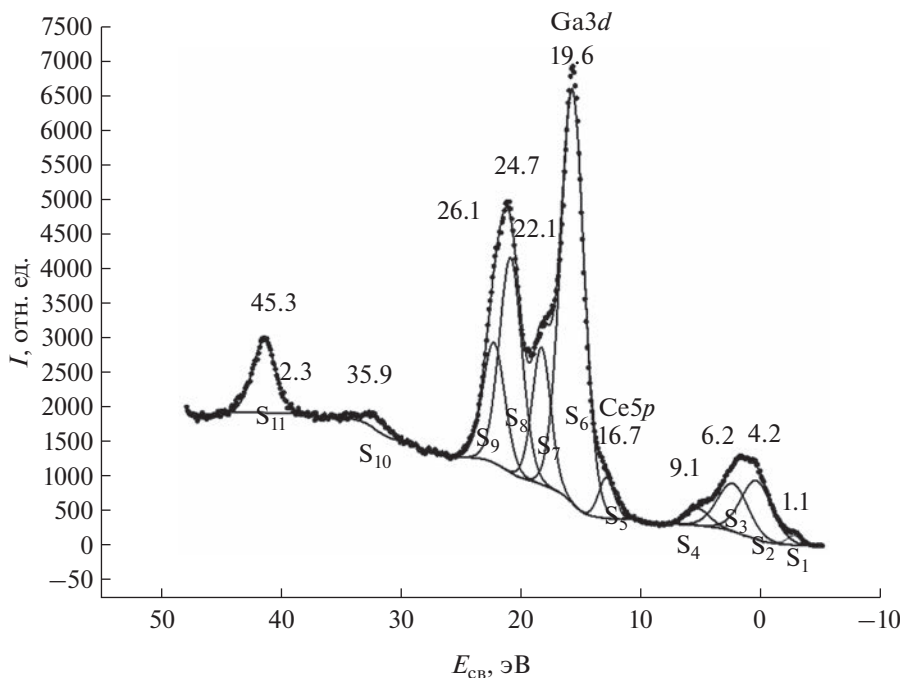


Рис. 2. Спектр РФЭС валентных электронов образца $\text{Y}_{2.5}\text{Ce}_{0.5}\text{Fe}_{2.5}\text{Ga}_{2.5}\text{O}_{12}$ после синтеза и отжига в вакууме [16].

Из анализа зависимостей $\beta_{hk} \cos\theta = k\lambda/D + 4\epsilon \sin\theta$ следует, что для образца 6 величина D составляет 65.8 нм и $\epsilon \times 10^{-3} = 2.1$, а для образца 7 – 90.5 нм и 0.4 соответственно.

Из данных расчета следует, что при дополнительном отжиге на воздухе в $\text{Y}_{2.5}\text{Ce}_{0.5}\text{Fe}_{2.5}\text{Ga}_{2.5}\text{O}_{12}$ происходит увеличение размеров отдельных кристаллитов и уплотнение кристаллической решетки за счет уменьшения количества микродеформаций.

Обзорный спектр РФЭС электронов образца 6 кроме основных линий элементов содержит линию Cl_{1s} -электронов и Оже-спектры элементов, адсорбированных на поверхности (рис. 1).

В спектрах валентных электронов (рис. 2, 3) в диапазоне энергий связи электронов (E_b) от 0 до ~ 15 эВ наблюдается структура, связанная с электронами внешних валентных молекулярных орбиталей (ВМО), а в диапазоне E_b от ~ 15 до ~ 50 эВ – внутренних валентных молекулярных орбиталей (ВВМО). В спектре вблизи уровня Ферми наблюдается линия $\text{Ce}4f$ -электронов малой интенсивности, не участвующая в химической связи, что свидетельствует о том, что на поверхности кристаллитов $\text{Y}_{2.5}\text{Ce}_{0.5}\text{Fe}_{2.5}\text{Ga}_{2.5}\text{O}_{12}$ присутствуют катионы Ce^{3+} (рис. 2). Линии $\text{Ce}5s$ - и $\text{Ce}5p$ -электронов имеют слабую интенсивность. Однако из-за образования ВВМО спин-орбитальное расщепление дублетов $\text{Ce}5p$ -, $\text{Ga}3d$ - и $\text{Y}4p$ -электронов обнаружить не удалось. В то же время при анализе спектров (рис. 2) установлено, что в

$\text{Y}_{2.5}\text{Ce}_{0.5}\text{Fe}_{2.5}\text{Ga}_{2.5}\text{O}_{12}$ не содержится примесных ионов и его элементный состав качественно согласуется с заданным. После травления поверхности ионами Ar^+ в спектре при энергии связи 1.1 эВ наблюдается более интенсивная линия, связанная с не участвующими в химической связи $\text{Ce}4f$ -электронами ионов Ce^{3+} (рис. 3). При этом отношение интенсивностей линий ВМО/ $\text{Y}4s$ уменьшилось с 3.4 до 2.3, что можно качественно объяснить уменьшением количества кислорода на поверхности образца и образованием дополнительных катионов Ce^{3+} . Структура спектров других валентных электронов при травлении ионами Ar^+ существенно не изменилась.

Анализируя данные рис. 2 и 3 можно отметить когерентное совпадение линий галлия обоих образцов $\text{Y}_{2.5}\text{Ce}_{0.5}\text{Fe}_{2.5}\text{Ga}_{2.5}\text{O}_{12}$, что может свидетельствовать о том, что равномерное распределение катионов галлия в решетке задается на стадии синтеза твердого раствора, что предопределяет при кристаллизации в структуре граната заданное пропорциональное заполнение тетраэдрических и октаэдрических пор. Безусловно, разбавление подрешетки железа галлием, с одной стороны, приводит к уменьшению магнитных и магнито-оптических свойств граната. Однако, с другой стороны, пропорциональное заполнение позиций приводит к увеличению размеров додекаэдрических пор с последующим их частичным заполнением более крупными катионами церия по сравнению с катионами иттрия. Эти два фактора

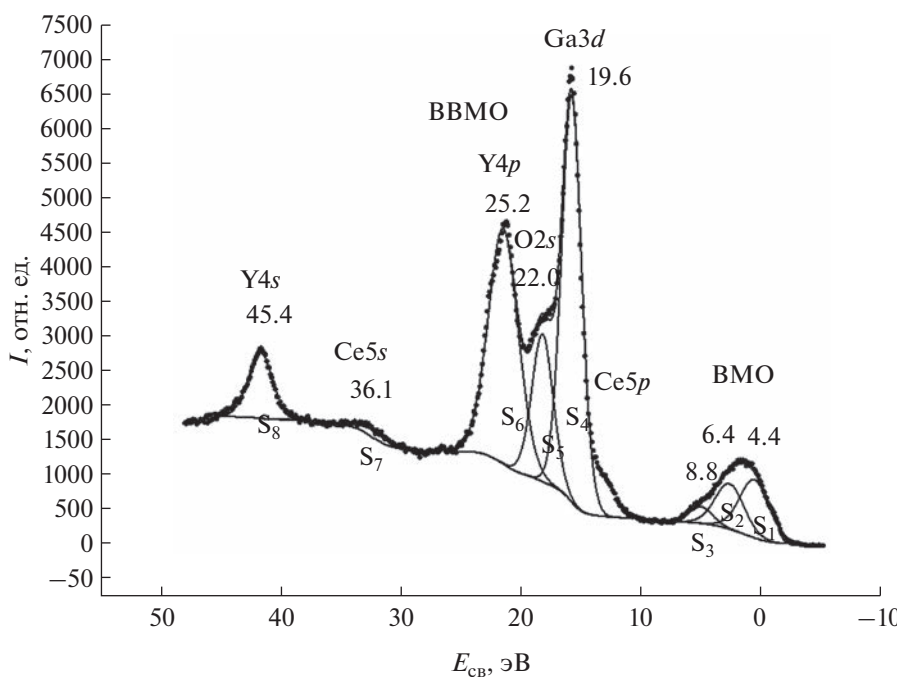


Рис. 3. Спектр РФЭС валентных электронов образца $\text{Y}_{2.5}\text{Ce}_{0.5}\text{Fe}_{2.5}\text{Ga}_{2.5}\text{O}_{12}$ после отжига в вакууме и травления поверхности ионами Ar^+ .

(степень совершенства кристаллической структуры и уровень замещения иттрия магнитооптическими катионами церия) задают стабильность и повышенные значения оптических и магнитооптических свойств феррит-гранатов.

Отметим, что структура спектров валентных электронов позволяет получить важную, но только качественную информацию о составе поверхности образца. Более корректная количественная информация об элементном составе поверхности образцов, в частности, об относительном ионном составе Ce^{3+} и Ce^{4+} может быть получена на основании структуры спектров остаточных электронов церия.

Для определения относительного ионного состава (Ce^{3+} и Ce^{4+}) смесей ионов церия в работе использована методика, основанная на анализе параметров структуры спектров $\text{Ce}3d$ -электронов [22, 23].

Доли ионов $v_1(\text{Ce}^{3+})$ и $v_2(\text{Ce}^{4+})$ определены исходя из нижеприведенных формул [23, 24]:

$$v_1(\text{Ce}^{3+}) = \frac{I_0}{[1 - a_0(3/2)(I_0/I)]/[1 + (3/2)(I_0/I)]}, \quad (1)$$

$$v_2(\text{Ce}^{4+}) = 1 - v_1(\text{Ce}^{3+}), \quad (2)$$

где a_0 — эталонный калибровочный коэффициент, I_0 , I — интенсивности сателлита (6) и структуры линий (1–2) соответственно (рис. 4).

Структура спектра РФЭС $\text{Ce}3d$ -электронов ионов Ce^{4+} состоит из шести пиков (1–6), соответствующих различным конечным состояниям после фотоэмиссии $\text{Ce}3d$ -электронов (рис. 4). Спектр $\text{Ce}3d$ -электронов иона Ce^{3+} состоит из четырех пиков [16], расположенных вблизи пиков (1, 4) и (2, 5). Отдельно наблюдаемая одиночная линия I_0 (6) возникает при ~ 916 эВ в спектрах иона Ce^{4+} и смеси ионов (Ce^{3+} и Ce^{4+}) (рис. 4). Линии (1, 4) (рис. 4) представляют собой спин-орбитальный дублет $\text{Ce}3d$ с $\Delta E_{\text{sl}}(\text{Ce}3d) = 18.6$ эВ, а сателлиты (4, 6) сдвинуты примерно на 16.0 эВ в сторону больших энергий связи относительно спин-орбитального дублета (1, 4) основного состояния.

Травление ионами аргона образца ведет к увеличению ионов Ce^{3+} , что связано с удалением ионов кислорода с поверхности (рис. 5а; табл. 2, образцы а, б). Это приводит к появлению дублета при 881.1 и 885.0 эВ, характерного для катионов Ce^{3+} [13].

На рис. 5б приведен спектр $\text{Ce}3d$ -электронов, который получен в первые 6 мин (три сканирования) после введения образца в спектрометр для того, чтобы изучить влияние рентгеновского излучения на состав ионов (Ce^{3+} и Ce^{4+}) на поверхности образца (табл. 2, образцы в, и, е). Из табл. 2 следует, что при воздействии на образец рентгеновского излучения происходит увеличение Ce^{4+} относительно Ce^{3+} .

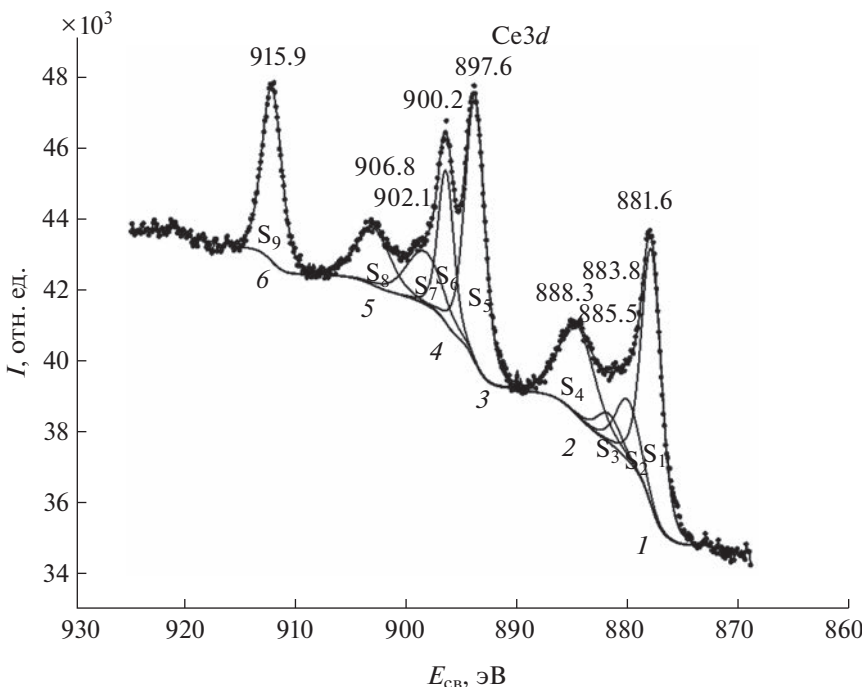


Рис. 4. Спектр РФЭС Ce3d-электронов образца $\text{Y}_{2.5}\text{Ce}_{0.5}\text{Fe}_{2.5}\text{Ga}_{2.5}\text{O}_{12}$ после отжига в вакууме [16].

С увеличением времени нахождения образца в спектрометре содержание ионов Ce^{4+} на поверхности образца относительно Ce^{3+} возрастает (табл. 2, образцы г, д, ж, з).

Анализ спектров образцов, полученных после отжига образца в вакууме и подвергнутых рентгеновскому излучению, свидетельствует о том, что ионы церия находятся не только в разновалентных состояниях, но и в положениях, не связанных с додекаэдрическими позициями в гранате. Из рис. 5б можно заключить, что поверхностный слой $\text{Y}_{2.5}\text{Ce}_{0.5}(\text{Fe}_{0.5}\text{Ga}_{0.5})_5\text{O}_{12}$ является сильно нарушенным с измененным составом.

Из полученных данных также следует, что в начальный момент после отжига на поверхности образцов образуется смесь ионов Ce^{3+} и Ce^{4+} . Под влиянием окружающей атмосферы происходит окисление ионов Ce^{3+} до Ce^{4+} . При травлении ионами аргона с поверхности образцов удаляется кислород, что приводит к восстановлению ионов Ce^{4+} до Ce^{3+} . Из данных табл. 2 следует, что отжиг на воздухе приводит к образованию устойчивой фазы с меньшим содержанием катионов Ce^{3+} , чем при отжиге в вакууме. Окружение ионов Ce^{4+} имеет симметрию D_{4h} (решетка CaF_2), а окружение ионов Ce^{3+} менее симметрично. Поэтому в объеме образцов катионов Ce^{3+} может быть боль-

Таблица 2. Ионный состав Ce^{3+} и Ce^{4+} (%) поверхностного слоя образца 7* (табл. 1) после травления Ar^+ и воздействия рентгеновского излучения

№	$\text{Y}_{2.5}\text{Ce}_{0.5}\text{Fe}_{2.5}\text{Ga}_{2.5}\text{O}_{12}$	Ce^{3+}	Ce^{4+}
а	Отжиг в вакууме (750°C) + травление Ar^+	50	50
б	Отжиг в вакууме, затем на воздухе (750°C) + травление Ar^+	44	56
в	Отжиг в вакууме (750°C) + рентгеновское излучение 6 мин	48	52
г	Отжиг в вакууме (750°C) + рентгеновское излучение 12 мин	44	56
д	Отжиг в вакууме (750°C) + рентгеновское излучение 100 мин	6	94
е	Отжиг в вакууме, затем на воздухе (750°C) + рентгеновское излучение 6 мин	31	69
ж	Отжиг в вакууме затем на воздухе (750°C) + рентгеновское излучение 12 мин	30	70
з	Отжиг в вакууме, затем на воздухе (750°C) + рентгеновское излучение 100 мин	5	95

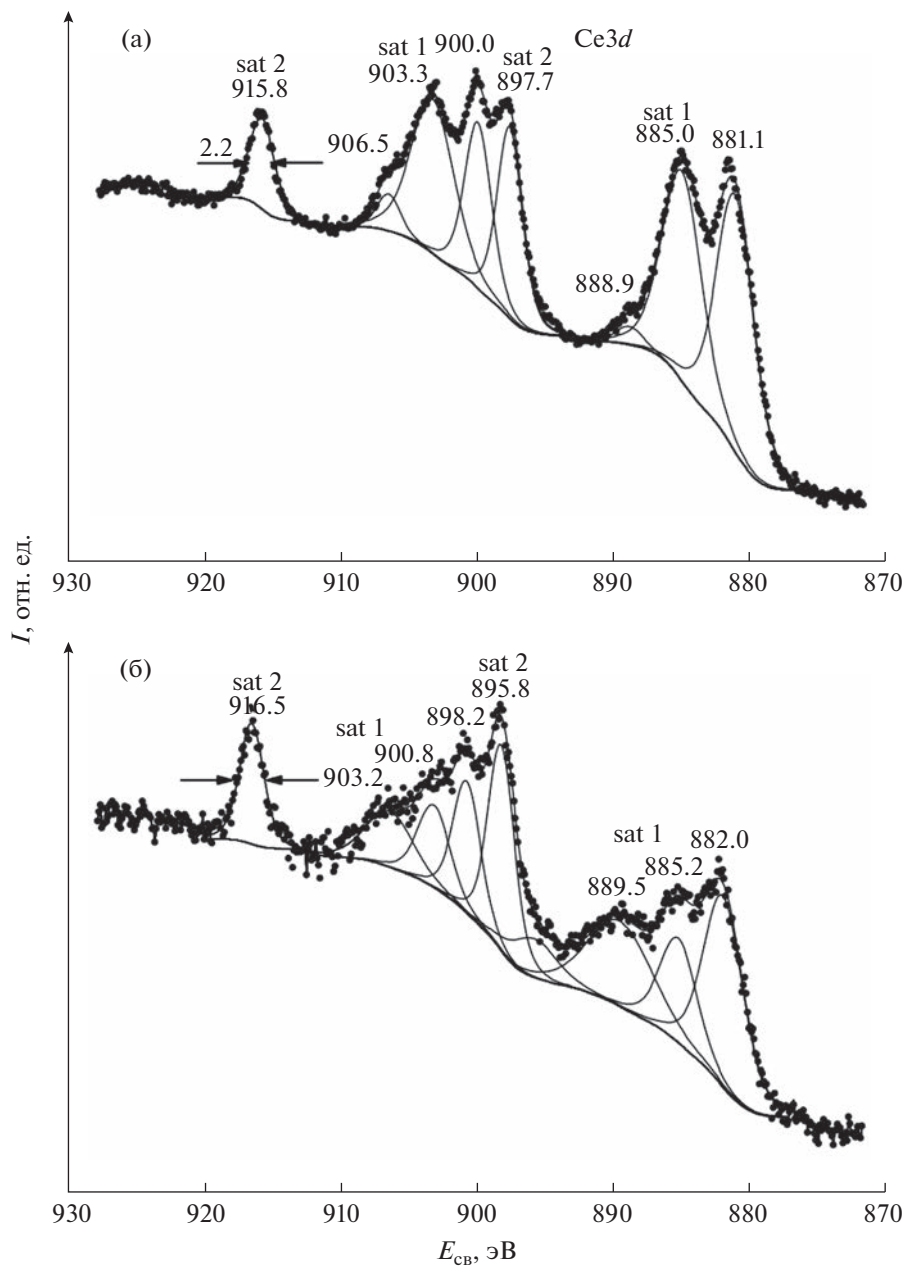


Рис. 5. Спектр РФЭС Ce3d-электронов образца $\text{Y}_{2.5}\text{Ce}_{0.5}\text{Fe}_{2.5}\text{Ga}_{2.5}\text{O}_{12}$ после отжига в вакууме: после травления поверхности ионами Ar^+ (а); после воздействия рентгеновским излучением в течение 6 мин (б).

ше, чем на поверхности. При использовании таких твердых растворов, содержащих Ce^{3+} , поверхность образцов следует защищать от контакта с кислородом.

Как следует из рис. 6, мессбауэровские спектры ^{57}Fe образцов феррогранатов $\text{Y}_{2.5}\text{Ce}_{0.5}\text{Fe}_{2.5}\text{Ga}_{2.5}\text{O}_{12}$, полученных после отжига в вакууме при 750°C (а) и после отжига в вакууме, а затем в атмосфере воздуха при 750°C (б), практически не отличаются друг от друга и представляют собой сложную суперпозицию двух асимметричных уширенных

квадрупольных дублетов. Их структура аналогична спектрам незамещенных гранатов [24, 25], в которых заметное различие параметров выделенных дублетов является следствием неэквивалентного кислородного окружения (тетраэдрического/октаэдрического) катионов железа в кристаллической решетке. В то же время замещение части катионов железа катионами галлия, а катионов иттрия — катионами церия приводит к существенному уширению резонансных линий. Поэтому предложенная нами математическая обработка включала реконструкцию распределений

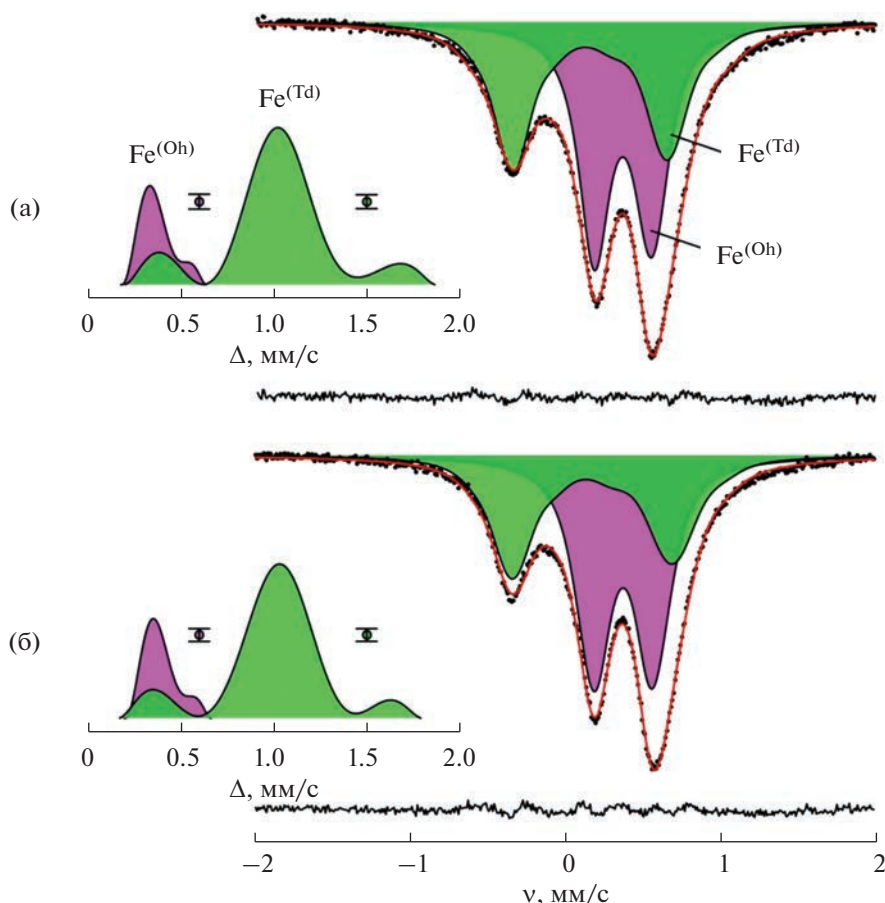


Рис. 6. Мессбауэровские спектры ядер ^{57}Fe образцов $\text{Y}_{2.5}\text{Ce}_{0.5}\text{Fe}_{2.5}\text{Ga}_{2.5}\text{O}_{12}$, полученных после синтеза и отжига: в вакууме (а); в вакууме, а затем в атмосфере воздуха (б). На вставках слева изображены соответствующие распределения $p\Delta$ квадрупольных расщеплений Δ .

квадрупольных дублетов с учетом линейных корреляций изомерных сдвигов δ и квадрупольных расщеплений Δ (рис. 6, вставки). Полученные значения сверхтонких параметров спектров (табл. 3) показывают, что катионы железа в обоих гранатах стабилизированы только в

формальной степени окисления “3+”. Такой экспериментальный факт косвенно свидетельствует, что в структуре $\text{Y}_{2.5}\text{Ce}_{0.5}\text{Fe}_{2.5}\text{Ga}_{2.5}\text{O}_{12}$ в результате замещения части атомов иттрия на церий не происходит окисления церия. Необходи-

мо отметить, что полученное соотношение катионов железа в тетраэдрических ($\text{Fe}^{(\text{Td})}$) и октаэдрических ($\text{Fe}^{(\text{Oh})}$) позициях отклоняется от навязанного структурой соотношения 3 : 2 соответственно (табл. 3), что указывает на предпочтение атомов галлия к тетраэдрическому кислородному окружению в структуре этих гранатов.

Таким образом, в работе методами РФА, РФЭС и мессбауэровской спектроскопии исследованы ионный и фазовый составы образцов порошкообразного феррограната $\text{Y}_{2.5}\text{Ce}_{0.5}\text{Fe}_{2.5}\text{Ga}_{2.5}\text{O}_{12}$,

Таблица 3. Сверхтонкие параметры мессбауэровских спектров ядер ^{57}Fe в образцах феррогранатов $\text{Y}_{2.5}\text{Ce}_{0.5}\text{Fe}_{2.5}\text{Ga}_{2.5}\text{O}_{12}$ при $T = 298 \text{ K}$ ($\langle \delta \rangle$ и $\langle \Delta \rangle$ — средние значения изомерного химического сдвига и квадрупольного расщепления в распределениях $p\Delta$)

Условия получения	Парциальный спектр	$\langle \delta \rangle$, $\text{мм}/\text{с}$	$\langle \Delta \rangle$, $\text{мм}/\text{с}$	I , %
Вакуум	$\text{Fe}^{(\text{Td})}$	0.18(1)	1.02(1)	42(2)
	$\text{Fe}^{(\text{Oh})}$	0.37(1)	0.37(1)	58(2)
Вакуум + воздух	$\text{Fe}^{(\text{Td})}$	0.17(1)	1.00(1)	41(2)
	$\text{Fe}^{(\text{Oh})}$	0.38(1)	0.39(1)	59(2)

полученного методом сжигания геля с последующим отжигом в вакууме и в атмосфере воздуха при 750°C. Установлено, что катионы железа и церия в структуре гомогенного феррограната стабилизированы в формальной степени окисления “3+”. В то же время на поверхности частиц $Y_{2.5}Ce_{0.5}Fe_{2.5}Ga_{2.5}O_{12}$ наряду с Ce^{3+} содержатся ионы Ce^{4+} .

ФИНАНСИРОВАНИЕ РАБОТЫ

Исследование выполнено за счет гранта Российского научного фонда № 23-43-10004. Исследования проводили с помощью оборудования ЦКП ФМИ ИОНХ РАН и оборудования, приобретенного за счет средств Программы развития МГУ им. М.В. Ломоносова.

КОНФЛИКТ ИНТЕРЕСОВ

Авторы заявляют об отсутствии конфликта интересов.

СПИСОК ЛИТЕРАТУРЫ

1. *Garskaite E., Gibson K., Leleckaite A. et al.* // *Chem. Phys.* 2006. V. 323. P. 204.
<https://doi.org/10.1016/j.chemphys.2005.08.055>
2. *Park M.B., Cho N.H.* // *J. Magn. Magn. Mater.* 2001. V. 231. P. 253.
[https://doi.org/10.1016/S0304-8853\(01\)00068-3](https://doi.org/10.1016/S0304-8853(01)00068-3)
3. *Onbasli M.C., Goto T., Sun X. et al.* // *Opt. Express.* 2014. V. 22. P. 25183.
<https://doi.org/10.1364/OE.22.025183>
4. Рандошкин В.В., Червоненкис А.Я. Прикладная магнитооптика. М.: Энергоатомиздат, 1990. 320 с.
5. *Shen T., Dai H., Song M.* // *J. Supercond. Nov. Magn.* 2017. V. 30. P. 937.
<https://doi.org/10.1007/s10948-016-3880-9>
6. *Huang M., Zhang S.* // *Appl. Phys. A.* 2022. V. 74. P. 177.
<https://doi.org/10.1007/s003390100883>
7. *Ibrahim N.B., Edwards C., Palmer S.B.* // *J. Magn. Magn. Mater.* 2000. V. 220. P. 183.
[https://doi.org/10.1016/S0304-8853\(00\)00331-0](https://doi.org/10.1016/S0304-8853(00)00331-0)
8. *Dastjerdi O.D., Shokrollahi H., Yang H.* // *Ceramics Int.* 2020. V. 46 (315). P. 2709.
<https://doi.org/10.1016/j.ceramint.2019.09.261>
9. *Xu H., Yang H.* // *J. Mater Sci: Mater Electron.* 2008. V. 19. P. 589.
<https://doi.org/10.1007/s10854-007-9394-2>
10. *Shannon R.D.* // *Acta Crystallogr. Sect. A.* 1976. V. 32. P. 751.
<https://doi.org/10.1107/S0567739476001551>
11. *Gilleo M.A., Geller S.* // *Phys. Rev.* 1958. V. 110. Issue 1. P. 73.
<https://doi.org/10.1103/PhysRev.110.73>
12. *Lisnevskaya I.V., Bobrova I.A., Lupeiko T.G.* // *J. Magn. Magn. Mater.* 2016. V. 397. P. 86.
<https://doi.org/10.1016/j.jmmm.2015.08.084>
13. *Smirnova M.N., Nikiforova G.E., Goeva L.V.* // *Ceramics Int.* 2018. V. 45 (4). P. 4509.
<https://doi.org/10.1016/j.ceramint.2018.11.133>
14. *Smirnova M.N., Glazkova I.S., Nikiforova G.E. et al.* // *Nanosystems: Phys. Chem. Mathem.* 2021. V. 12. P. 210.
<https://doi.org/10.17586/2220-8054-2021-12-2-210-217>
15. *Teterin Yu.A., Smirnova M.N., Maslakov K.I. et al.* // *Dokl. Phys. Chem.* 2022. V. 503. Part 2. P. 45.
<https://doi.org/10.1134/S0012501622040029>
16. Смирнова М.Н., Гоева Л.В., Симоненко Н.П. и др. // Журн. неорган. химии. 2016. Т. 61. С. 1354.
<https://doi.org/10.1134/S0036023616100193>
17. Смирнова М.Н., Копьева М.А., Береснев Э.Н. и др. // Журн. неорган. химии. 2018. Т. 63. С. 411.
<https://doi.org/10.1134/S0036023618040198>
18. *Shirley D.* // *Phys. Rev. B.* 1972. V. 5. P. 4709.
<https://doi.org/10.1103/PhysRevB.5.4709>
19. Панов А.Д. Пакет программ обработки спектров SPRO и язык программирования. М.: Ин-т атом. энергии, 1997. 31 с.
20. *Matsnev M.E., Rusakov V.S.* // *AIP Conf. Proc.* 2012. V. 1489. P. 178.
21. *Maslakov K.I., Teterin Yu.A., Popel A.J. et al.* // *Appl. Surf. Sci.* 2018. V. 448. P. 154.
<https://doi.org/10.1016/j.apsusc.2018.04.077>
22. *Maslakov K.I., Teterin Yu.A., Ryzhkov M.V. et al.* // *Phys. Chem. Chem. Phys.* 2018. V. 20. P. 16167.
<https://doi.org/10.1134/S0036024421060212>
23. *Teterin Yu.A., Teterin A.Yu.* // *Russ. Chem. Rev.* 2002. V. 717. № 5. P. 347.
<https://doi.org/10.1070/RC2002v071n05ABEH00071>
24. *Sawatzky G.A., van der Woude F., Morrish A.H.* // *Phys. Rev.* 1969. V. 183. P. 383.
25. *Belogurov V.N., Bilinkin V.* // *Phys. Status Solid. (A).* 1981. V. 63. P. 45.